

Министерство высшего и среднего специального образования
Р С Ф С Р

Горьковский ордена Трудового Красного Знамени
научно-исследовательский радиофизический институт (НИРФИ)

П р е п р и н т № 278

О ТРАНСФОРМАЦИОННО-ДРЕЙФОВОЙ НЕУСТОЙЧИВОСТИ ИОНОСФЕРНОЙ
ПЛАЗМЫ В ПОЛЕ ЭЛЕКТРОМАГНИТНЫХ ВОЛН

Л. Г. Генкин
Л. М. Ерухимов

Горький 1989

Генкин Л. Г., Ерухимов Л. М.

О ТРАНСФОРМАЦИОННО-ДРЕЙФОВОЙ НЕУСТОЙЧИВОСТИ ИОНОСФЕРНОЙ ПЛАЗМЫ
В ПОЛЕ ЭЛЕКТРОМАГНИТНЫХ ВОЛН // Препринт № 278. - Горький: НИРФИ.-
1989 г. - 15 с.

УДК 533.9 + 551.510.535

Рассмотрен механизм возбуждения неоднородной структуры плазмы в поле электромагнитных волн вследствие развития в регулярно неоднородной среде неустойчивости градиентно-дрейфового типа. Этот механизм обусловлен появлением квазистационарного тока плотностью $j(\Omega, \vec{x})$ при конверсии электромагнитной волны в плазменные волны в результате интерференции высокочастотных осцилляций скорости в поле электромагнитной волны и их концентрации в поле плазменной. Найдено выражение для $j(\Omega, \vec{x})$. Получено дисперсионное соотношение для неустойчивости, описывающее как тепловые, так и градиентно-дрейфовые эффекты. Исследована роль предложенного механизма в образовании неоднородностей верхней ионосферы под действием мощного радиоизлучения.

Процессы взаимодействия плазменных (l) и электромагнитных (t) волн играет ведущую роль в космической и околоземной плазме. И в частности, приводят к возбуждению мелкомасштабных неоднородностей верхней ионосферы вследствие развития тепловой параметрической неустойчивости (ТПН) /1,2/. В работе предложен механизм трансформационно-дрейфовой неустойчивости, возникающий в регулярно-неоднородной плазме в поле электромагнитных волн. Такая неустойчивость относится к градиентно-дрейфовому типу и обусловлена появлением квазистационарного тока плотностью $\vec{j}_{\Omega, \vec{z}}$, возникающего при конверсии $t \rightarrow l$ волн в результате интерференции высокочастотных осцилляций скорости электронов \vec{v}_w^t в поле электромагнитной волны частоты ω_t и их концентрации N_w^l в поле плазменной волны частота ω_l . Ранее /3/ подобная интерференция привлекалась при анализе стабилизирующих факторов на линейной стадии ТПН. В настоящей работе исследована роль трансформационно-дрейфовой неустойчивости (ТДН) в образовании неоднородной структуры ионосферной плазмы под действием мощного радиоизлучения.

Величину квазистационарного тока определим следующим образом:

$$\vec{j}_{\Omega, \vec{z}} = \left\{ \langle N_w^l \vec{v}_w^t \rangle + \langle N_w^{l*} \vec{v}_w^t \rangle \right\} + \text{к. с.} \quad (I)$$

здесь $N_{\omega}^{\pm} \propto \exp(i\vec{k}_l^{\pm}\vec{r} - i\omega_l^{\pm}t)$, $\vec{U}_{\omega}^{\pm} \propto \exp(i\vec{k}_t^{\pm}\vec{r} - i\omega_t^{\pm}t)$, угловые скобки означают усреднение за время $t \gg \Omega^{-1}$ и выполнены условия синхронизма

$$\omega_l^{\pm} = \omega_t^{\pm} \pm \Omega, \quad \vec{k}_l^{\pm} = \vec{k}_t^{\pm} \pm \vec{\alpha}, \quad (2)$$

причем $|\vec{k}_t| \ll |\vec{k}_l^{\pm}|, |\vec{\alpha}|$, $\Omega \ll \omega_l^{\pm}, \omega_t^{\pm}$. Выражение для флуктуаций скорости в поле волны накачки имеет вид

$$\vec{U}_{\omega}^t = -i \frac{e}{m\omega_t} \vec{E}_t \exp(i\vec{k}_t \vec{r} - i\omega_t t). \quad (3)$$

Флуктуации плотности в ленгмюровской волне нетрудно получить из уравнения Пуассона.

$$N_{\omega}^{l\pm} = -i \frac{(\vec{k}_l^{\pm} \vec{E}_{\omega}^{\pm})}{4\pi e}. \quad (4)$$

Поле рассеянной волны при трансформации поперечной волны в продольную имеет следующий вид /4/:

$$\vec{E}_{\vec{k}_l \omega_l}^+ = \frac{\omega_{pe}^2}{\omega_t \omega_l^+} \frac{\vec{k}_l^+ (\vec{k}_l^+ \vec{E}_t)}{k_l^{+2} \epsilon_l^+} \left(1 + \frac{\Omega}{\omega_l^+} \frac{k_l^{+2}}{\alpha^2} \right) \frac{\delta n_{\vec{\alpha}\Omega}}{N_0}, \quad (5)$$

$$\vec{E}_{\vec{k}_l \omega_l}^- = \frac{\omega_{pe}^2}{\omega_t \omega_l^-} \frac{\vec{k}_l^- (\vec{k}_l^- \vec{E}_t)}{k_l^{-2} \epsilon_l^-} \left(1 - \frac{\Omega}{\omega_l^-} \frac{k_l^{-2}}{\alpha^2} \right) \frac{\delta n_{\vec{\alpha}\Omega}^*}{N_0}.$$

Здесь $\delta n_{\vec{\alpha}\Omega}$ – низкочастотные флуктуации электронной концентрации, ϵ_l^{\pm} – продольная (вдоль \vec{k}_l^{\pm}) диэлектрическая проницаемость плазмы. Подставляя выражения (3), (4), (5) в (1), найдем возмущение электронного тока биений на частоте Ω :

$$\vec{j}_{\vec{k}, \omega} = \vec{a}_0 \frac{\omega_{pe}^2}{\omega_t^2} \frac{v_{Te}^2}{\omega_t} \left\{ \frac{(\vec{k}_t^+ \vec{a}_0)}{\epsilon_t^+} + \frac{(\vec{k}_t^- \vec{a}_0)}{\epsilon_t^-} \right\} W_t \delta n_{\vec{k}, \omega} e^{i\vec{k}\vec{r} - i\Omega t} + \text{к.с.} \quad (6)$$

где $\vec{a}_0 = \frac{\vec{E}_t}{|E_t|}$, $W_t = \frac{E_t^2}{4\pi N_0 T_0}$ — плотность энергии электромагнитных волн. Вводя угол рассеяния θ_t (рис. I), перепишем (6) в виде ($\omega_t \approx \omega_{pe}$)

$$\begin{aligned} \vec{j}_{\vec{k}, \omega} &= \vec{V}_0 \delta n_{\vec{k}, \omega} e^{i\vec{k}\vec{r} - i\Omega t} + \text{к.с.}, \\ \vec{V}_0 &= \vec{a}_0 \frac{v_{Te}^2}{\omega_t} K_t \sin \theta_t \left(\frac{1}{\epsilon_t^+} - \frac{1}{\epsilon_t^-} \right) W_t. \end{aligned} \quad (7)$$

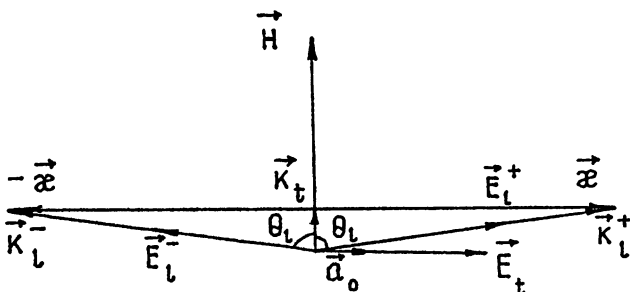


Рис. I Конфигурация четырехволнового взаимодействия электромагнитной (t) волны со стоковой (L^+) и антистоковой (L^-) плазменной волной.

Для анализа полученного соотношения необходимо определить выражение для разности диэлектрических проницаемостей, которое имеет

следующий вид:

$$R_{\epsilon}^{-1} \equiv \left(\frac{1}{\epsilon_1^+} - \frac{1}{\epsilon_1^-} \right) = \left[\frac{1}{2} \frac{\partial(\omega^2 \operatorname{Re} \epsilon(\omega))}{\omega d\omega} \right]^{-1} \times \\ \times \frac{\omega_t (\Omega_0 + i(\gamma_0 + \tilde{\gamma}))}{(\Delta\omega)^2 + (\gamma_0 + \tilde{\gamma})^2 - \Omega_0^2 - 2i\Omega_0(\gamma_0 + \tilde{\gamma})} \approx \frac{\omega_t [\Omega_0(\Delta\omega^2 - \tilde{\gamma}^2) + i\tilde{\gamma}(\Delta\omega^2 + \tilde{\gamma}^2)]}{[(\Delta\omega)^2 + \tilde{\gamma}^2]^2}, \quad (8)$$

здесь $\Delta\omega = \omega_t - \omega_p \ll \omega_t$, $\omega_p^2 = \omega_{pe}^2 + \omega_h^2 \sin^2 \theta$, $\Omega = \Omega_0 + i\gamma_0$, $\Omega_0, \gamma_0 \ll \gamma_e$, $\tilde{\gamma} \approx \gamma_e/2$ – декремент затухания плазменных волн.

Как следует из (7), (8), ток биений $\vec{j}_{\Omega, \vec{x}}$ имеет минимум и действенную часть, которые соответствуют диффузионному члену и сдвигу частоты в уравнении непрерывности. Исследуем влияние тока биений на развитие ТПН и рассмотрим развитие неустойчивости градиента дрейфового типа, возникающей в регулярно-неоднородной плазме при наличии реальной части $\vec{j}_{\Omega, \vec{x}}$. Для этого воспользуемся следующей системой гидродинамических уравнений:

$$\frac{\partial N}{\partial t} + \operatorname{div}(\vec{j}_e + \vec{j}_i) = 0,$$

$$\frac{\partial N}{\partial t} + \operatorname{div} \vec{j}_i = 0,$$

$$\vec{j}_e = \hat{\mu}_e \nabla \psi - \hat{D}_e \nabla N - \hat{D}_{Te} \frac{N}{T_e} \nabla T_e, \quad (9)$$

$$\vec{j}_i = -\hat{\mu}_i \nabla \psi - \hat{D}_i \nabla N - \hat{D}_{Ti} \frac{N}{T_e} \nabla T_e,$$

$$\frac{\partial T_e}{\partial t} = \frac{2}{3N} Q + \operatorname{div} \left(\frac{\hat{\chi}_e}{N} \vec{v} \right) T_e - \delta v_e (T_e - T_n).$$

Здесь $\hat{\mu}_e, \hat{\mu}_i, \hat{D}_e, \hat{D}_i, \hat{D}_{Te}, \hat{D}_{Ti}, \hat{\chi}_e$ - тензоры подвижности, диффузии, термодиффузии, взаимной термодиффузии и теплопроводности электроном и ионов. Система справедлива при выполнении следующих условий:

$$\alpha_{||}^2 \frac{v^2}{T_e} \ll v_e^2, \quad \alpha_{\perp}^2 \frac{v^2}{T_i} \ll \Omega_H^2, \quad \alpha^2 r_D^2 \ll 1, \quad \alpha_{||} \text{ и } \alpha_{\perp} -$$

продольное и поперечное (по отношению к силовым линиям магнитного поля) волновое число возмущений. При написании (9) мы считали выполненным условие квазинейтральности $N_e \approx N_i = N$, вследствие этого ввели поляризационное поле $\vec{E} = -\nabla\psi$, и пренебрегли инерционными и стрикционными членами в уравнениях движения, ввиду их малости на низких частотах ($\Omega \ll \omega_e, \omega_i$). Следует заметить, что ток биений $\vec{j}_b = \langle N_e \vec{v}_t \rangle_\Omega$ отсутствует в выражении для \vec{j}_e вследствие компенсации в электронном уравнении движения в низкочастотном пределе членов $N_e \frac{d\vec{v}_t}{dt}$, $\frac{e}{m} N_e \vec{E}_t$ и $v_e N_e \vec{v}_t$.

Выражение для диссирируемой мощности $Q_\Omega = (\vec{E}_t \hat{G}_\omega \vec{E}_e^{-*}) + (\vec{E}_t^* \hat{G}_\omega \vec{E}_i^*) + K$ получим, используя формулу для рассеянного поля (5)

$$Q_{\Omega, \vec{z}} = \tilde{Q} \frac{\delta n \vec{z}}{N_e} \exp(i \vec{z} \cdot \vec{r} - i \Omega t) + \text{к.с.}, \quad (10)$$

$$\tilde{Q} = \frac{\omega_{pe}^2}{\omega_t \omega_i} G_\omega \sin^2 \theta E_t^2 \left(\frac{1}{\epsilon_e^+} + \frac{1}{\epsilon_i^-} \right)$$

(G_ω - эрмитова часть тензора проводимости на частоте ω_t). Учтем, также, что /I/:

$$R_\epsilon^+ \equiv \frac{1}{\epsilon_i^+} + \frac{1}{\epsilon_i^-} = \left[\frac{1}{2} \left| \frac{\partial(\omega^2 \operatorname{Re} \epsilon(\omega))}{\omega d\omega} \right|_{\omega=\omega_p} \right]^{-1} \times \\ \times \frac{1}{(\Delta\omega)^2 + (\gamma_0 + \tilde{\gamma})^2 - \Omega_0^2 - 2i\Omega_0(\gamma_0 + \tilde{\gamma})}. \quad (II)$$

Линеаризуя (9) и переходя к Фурье-компонентам для возмущений $n_{\Omega, \vec{z}}, \Psi_{\Omega, \vec{z}}, \vec{v}_{e\Omega, \vec{z}}, \vec{j}_{e\Omega, \vec{z}}$ и $T_{e\Omega, \vec{z}}$, запишем систему в следующем виде:

$$-i(\Omega - \vec{\alpha} \vec{v}_0) n_{\Omega, \vec{z}} - i\vec{\alpha} \vec{j}_{e\Omega, \vec{z}} + j_{e\Omega, \vec{z}} \Big|_z / L = 0,$$

$$-i\Omega n_{\Omega, \vec{z}} - i\vec{\alpha} \vec{j}_{i\Omega, \vec{z}} + j_{i\Omega, \vec{z}} \Big|_z / L = 0,$$

$$\vec{j}_{e\Omega, \vec{z}} = i\vec{\alpha} \hat{\mu}_e \Psi_{\Omega, \vec{z}} - (i\vec{\alpha} - \frac{\vec{z}_0}{L}) \hat{D}_e n_{\Omega, \vec{z}} - i\vec{\alpha} \tilde{D}_{Te} \frac{N}{Te} T_{e\Omega, \vec{z}}, \quad (12)$$

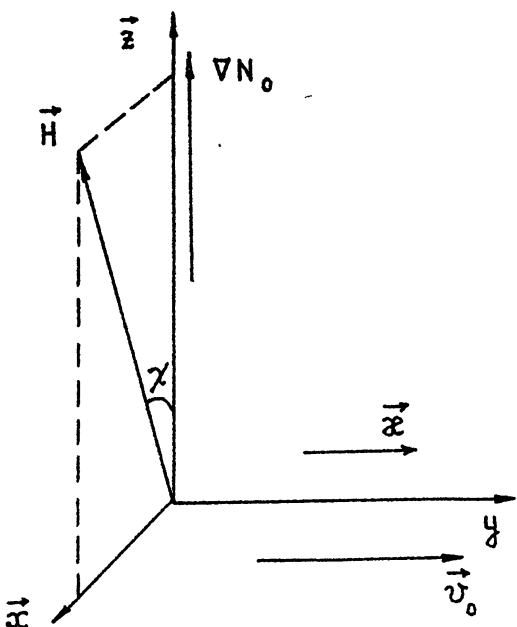
$$\vec{j}_{i\Omega, \vec{z}} = -i\vec{\alpha} \hat{\mu}_i \Psi_{\Omega, \vec{z}} - (i\vec{\alpha} - \frac{\vec{z}_0}{L}) \hat{D}_i n_{\Omega, \vec{z}} - i\vec{\alpha} \tilde{D}_{Ti} \frac{N}{Te} T_{e\Omega, \vec{z}},$$

$$-i\Omega T_{e\Omega, \vec{z}} = \frac{2}{3N} \tilde{Q} n_{\Omega, \vec{z}} - \left(\vec{\alpha} \frac{\hat{\chi}_e}{N} \vec{\alpha} \right) T_{e\Omega, \vec{z}} - \delta \gamma_e T_{e\Omega, \vec{z}}.$$

Здесь предполагается, что равновесная концентрация меняется вдоль вертикальной оси \vec{z} , и ее изменение характеризуется масштабом $L = \left(\frac{1}{N_0} \frac{dN_0}{dz} \right)^{-1}$, \vec{z}_0 — единичный вектор в направлении оси \vec{z} .

Заметим, что мы пока не конкретизируем вид дрейфовой скорости \vec{v}_0 и источника тепла \tilde{Q} , поскольку они могут вызываться различными причинами: действием постоянного электрического поля \vec{E}_0 , нейтрального ветра \vec{U}_n , силой тяжести \vec{g} или возникать при конверсии электромагнитных волн в плазменные. Таким образом, система (12) в общем виде включает эффекты развития тепловых и градиентно-дрейфовых неустойчивостей.

Полагаем, что магнитное поле \vec{H} составляет с осью \vec{z} угол χ , так что $\vec{H} (\sin \chi, 0, \cos \chi)$ (см. рис. 2), а величина L не зависит от \vec{z} и намного превышает длину волны возмущений $\lambda = 2\pi/\alpha$. Решаем (12) с учетом сделанных замечаний, после ряда



Р и с.2 Геометрия развития трансформационно-дрейфовой неустойчивости.

преобразований получим громоздкое дисперсионное соотношение, которое приобретает более компактный вид при $T_e \approx T_i$. Выпишем его для наиболее благоприятного для развития неустойчивости случая сильно вытянутых вдоль \vec{H} возмущений, когда $\alpha_{||}/\alpha_{\perp} \ll \gamma_e/\omega_H$. При этом оно имеет следующий вид

$$\Omega^2 + i\Omega(p' + ip'') + q' + iq'' = 0, \quad (13)$$

здесь

$$p' = \frac{\chi_{e\perp}}{N_0} \alpha_{\perp}^2 + 2D_{i\perp} \frac{m\gamma_e}{M\gamma_i} \alpha_{\perp}^2 + \delta_e \gamma_e - (\vec{\alpha} \operatorname{Im} \vec{V}_0) - \frac{(\alpha \operatorname{Re} v_0) x_y \Omega_H}{\alpha_{\perp}^2} \frac{\sin \chi}{L},$$

$$p'' = (\vec{x} \operatorname{Re} \vec{v}_0) - \frac{(\vec{x} \operatorname{Im} \vec{v}_0) x_y \Omega_H}{x_{\perp}^2 \gamma_i} \frac{\sin \chi}{L} - 2 D_{i\perp} \frac{\Omega_H}{\gamma_i} x_y \sin \chi / L,$$

$$\begin{aligned} q' &= \left(\frac{\chi_{e\perp}}{N_0} x_{\perp}^2 + \delta_e \gamma_e \right) \left[(\vec{x} \operatorname{Im} \vec{v}_0) + \frac{(\vec{x} \operatorname{Re} \vec{v}_0) x_y \Omega_H}{x_{\perp}^2 \gamma_i} \sin \chi / L - \right. \\ &\quad \left. - 2 D_{i\perp} \frac{m \gamma_e}{M \gamma_i} x_{\perp}^2 \right] - \frac{2}{3} \left(D_{Te\perp} + D_{Ti e\perp} \frac{m \gamma_e}{M \gamma_i} \right) \left(\frac{\operatorname{Re} \tilde{Q}}{NT} x_{\perp}^2 + \frac{\operatorname{Im} \tilde{Q}}{NT} \frac{\omega_H}{\gamma_e} \frac{x_y \sin \chi}{L} \right), \\ q'' &= - \left(\frac{\chi_{e\perp}}{N_0} x_{\perp}^2 + \delta_e \gamma_e \right) \left[(\vec{x} \operatorname{Re} \vec{v}_0) - \frac{(\vec{x} \operatorname{Im} \vec{v}_0) x_y \Omega_H}{x_{\perp}^2 \gamma_i} \frac{\sin \chi}{L} - \right. \\ &\quad \left. - 2 D_{i\perp} \frac{\Omega_H}{\gamma_i} \frac{x_y \sin \chi}{L} \right] - \frac{2}{3} \left(D_{Te\perp} + D_{Ti e\perp} \frac{m \gamma_e}{M \gamma_i} \right) \left(\frac{\operatorname{Im} \tilde{Q}}{NT} x_{\perp}^2 + \frac{\operatorname{Re} \tilde{Q}}{NT} \frac{\omega_H}{\gamma_e} \frac{x_y \sin \chi}{L} \right). \end{aligned}$$

Полагая $\Omega = \Omega_0 + i\gamma$, получим выражения для действительной части частоты Ω_0 и инкремента γ :

$$\begin{aligned} \Omega_0 &= \frac{p''}{2} \pm \sqrt{\frac{p + \sqrt{p^2 + q^2}}{2}}, \\ \gamma &= - \frac{p'}{2} \pm \sqrt{\frac{-p + \sqrt{p^2 + q^2}}{2}}, \end{aligned} \tag{14}$$

где

$$p = \frac{p''^2 - p'^2}{4} - q',$$

$$q = - \frac{p' p''}{2} - q''.$$

В случае $p' \gg p''$, $q' \gg q''$ (такое приближение действительно имеет место поскольку $\operatorname{Re} R_\epsilon^+ \gg \operatorname{Im} R_\epsilon^+$, $\operatorname{Im} R_\epsilon^- \gg \operatorname{Re} R_\epsilon^-$) неустойчивость развивается при $q' > 0$. Запишем выражение для порога в следующем виде:

$$\frac{(\vec{x} \operatorname{Re} \vec{v}_0) x_y}{x^2} \frac{\Omega_H}{\gamma_i} \sin \chi / L + (\vec{x} \operatorname{Im} \vec{v}_0) - 2 D_{i_1} \frac{m \gamma_e}{M \gamma_i} x_{\perp}^2 -$$

$$- \frac{2}{3} \frac{\left(D_{Te_1} + D_{Ti_1} \frac{m \gamma_e / M \gamma_i}{N_0} \right)}{\frac{\chi_{e_1}}{N_0} x_{\perp}^2 + \delta_e \gamma_e} \left(\frac{\operatorname{Re} \tilde{Q}}{NT} x_{\perp}^2 + \frac{\operatorname{Im} \tilde{Q}}{NT} \frac{\omega_H}{\gamma_e} x_y \sin \chi / L \right) = 0 \quad (I5)$$

Проанализируем выражение (I5). Два первых члена обусловлены наличием тока биений, третий – носит диффузионный характер, четвертое слагаемое вызвано тепловым расслоением, а последнее связано как с нагревными, так и с градиентными эффектами. Представляет интерес первое слагаемое в формуле (I5), которое ранее не рассматривалось. Неустойчивость в этом случае обусловлена существованием реальной части тока биений и регулярного градиента концентрации. Оценим вклад различных эффектов в развитие неустойчивости. Следует заметить, что при получении (I3)-(I5) мы не учитывали того факта, что взаимодействие электромагнитной волны с плазменной носит локальный по высоте характер. В связи с этим, не обсуждая возникающие при этом явления, укажем, что (I4), а также (I5) не позволяют дать количественную оценку порога развития неустойчивости, а лишь показывают вклад различных механизмов в образование неоднородной структуры.

Используя (7), (10), перепишем (I5), полагая $x \approx x_y$:

$$W_0 \left(\frac{U_{Te}^2}{\omega_e} K_e \operatorname{Re} R_\epsilon^- \frac{\Omega_H}{\gamma_i} \sin \chi / L + \frac{U_{Te}^2}{\omega_e} K_e \vec{x} \operatorname{Im} R_\epsilon^- - \right.$$

$$-\frac{2}{3} \nu_e \operatorname{Re} R_\epsilon^+ \left(\frac{\beta_e^2 \alpha_\perp^2}{\beta_e^2 \alpha_\perp^2 + \delta_e} \right) - 2 \beta_e^2 \alpha_\perp^2 \nu_e = 0. \quad (16)$$

Здесь пренебрежено слагаемым с $\operatorname{Im} \tilde{Q}$ по сравнению с $\operatorname{Re} \tilde{Q}$ и учтено, что при $\omega_H \gg \nu_e$, $\Omega_H \gg \nu_i$ коэффициенты переноса имеют следующий вид /5/:

$$\chi_{e_\perp} / N_0 \approx D_{T_{e_\perp}} \approx D_{T_{i_\perp}} \frac{m \nu_e}{H \nu_i} \approx \beta_e^2 \nu_e.$$

Анализ соотношения (16) показывает, что пороговое поле тепловой неустойчивости минимально при $\Delta\omega = -\tilde{\gamma}$, когда выражение $\operatorname{Re} R_\epsilon^+ \approx -\omega_t / \nu_e$, $\tilde{\gamma} \approx \nu_e / 2$ (см. /1/). Ток биений в свою очередь достигает максимальных значений при нулевых отстройках частоты $\Delta\omega = 0$, в этом случае из (16) следует $\operatorname{Im} R_\epsilon^- \approx -2 \frac{\omega_t}{\nu_e}$, $\operatorname{Re} R_\epsilon^- \approx 4 \frac{\omega_t \Omega_0}{\nu_e^2}$.

Проведем оценки для параметров F-слоя ионосферы: $N \approx 3 \cdot 10^{15} \text{ см}^{-3}$, $T_e \approx 2 \cdot 10^3 \text{ К}$, $\nu_{in} \approx 1 \text{ с}^{-1}$, $\nu_e \approx 500 \text{ с}^{-1}$; $\Omega \approx 300 \text{ с}^{-1}$, $v_{Te}^0 \approx 1,8 \times 10^7 \text{ см/с}$, $\omega_t \approx \omega_i \approx 3 \cdot 10^7 \text{ см/с}$ /5/. При этом мнимая часть тока биений стабилизирует ТН, увеличивая ее порог и время развития на линейной стадии в области больших волновых чисел $\vec{k} > 6 \cdot 10^{-3} \text{ см}^{-1}$, что соответствует проведенным в (3) расчетам. Однако действительная часть тока $j_{\Omega, \vec{k}}$ в неоднородной среде приводит к развитию неустойчивости градиентно-дрейфового типа, инкремент которой в простейшем случае "надпороговости" имеет вид $\tilde{\gamma} = \frac{\operatorname{Re} v_0}{L} \frac{\Omega_H}{\nu_{in}}$ (в нашем случае инкремент уменьшается вследствие локальности взаимодействия по высоте, о чем будет указано ниже).

Вклад этого механизма определяется величиной действительной части частоты Ω_0 , которую можно найти из (14). Полагая для оце-

нок $\Omega_0 \sim 10 \text{ c}^{-1}$, $L \sim 20 \text{ км}$, $\chi = 19^\circ$, получаем, что трансформационно-дрейфовая неустойчивость (ТДН) частично компенсирует стабилизирующее влияние мнимой части тока биений и приводит к некоторому уменьшению порога ТДН. Для ортогональных масштабов $L \approx 30-50 \text{ м}$ такое понижение составляет величину порядка 0,01. При этом порог ТДН ниже порога стрикционной неустойчивости.

При наличии в плазме постоянного электрического поля $E_0 = \frac{v_d}{C} H$ (v_d — скорость электронного дрейфа) в уравнении теплопроводности появляется низкочастотный омический нагрев $Q_b = (\vec{j}_{\Omega, \vec{x}} \vec{E}_0)$, связанный с током биений $\vec{j}_{\Omega, \vec{x}}$. Сравнение его с источником (10) показывает, что при скоростях $v_d \sim 100 \text{ м/с}$ отношение $Q_b / Q_{\Omega, \vec{x}}$ достигает значений $\sim 0,01$, что также несколько уменьшает порог неустойчивости. Кроме того, как показано ранее (см. (81)), $\operatorname{Im} R_\varepsilon^- = -\omega_t \tilde{\gamma} / (\Delta\omega)^2 + \tilde{\gamma}^2$, отсюда следует, что если декремент затухания плазменных волн $\tilde{\gamma}$ меняет знак, то мнимая часть тока биений вызывает развитие неустойчивости параметрического типа. Последнее может иметь место при наличии в ионосфере пучка электронов со скоростями порядка фазовой скорости плазменных волн.

Как указывалось выше, в проведенном анализе не учитывался тот факт, что вследствие неоднородности плазмы конверсия $t \rightarrow L$ волн носит локальный характер. Действительно, в неоднородной среде источник нагрева и ток биений ограничены по высоте длиной синхронизма L_c ($L_c^{-1} \sim \left| \pi \frac{d(\kappa_t - \kappa_L)}{dz} \right|^{1/2}$) из-за изменения с высотой волнового вектора плазменной волны K_L . Таким образом, на высоте взаимодействия существует тонкий токовый слой, в котором происходит быстрое изменение профиля скорости. Поток электронов с неоднородным профилем скорости может вызвать неустойчивость Кельвина-Гельмгольца или Фарли-Бунемана, которые также приводят к развитию мелкомасштабной

стратификации плотности плазмы (см. /6/).

Интересно отметить, что поскольку для приведенных выше параметров величина V_0 (см. /7/) достигает значений порядка 1 км/с, что превышает фазовую скорость ионно-звуковых волн $v_s = \sqrt{T_e/m_e}$. При этом в области трансформации может происходить генерация ионно-звуковой турбулентности, развитие в плазме которой приводит к появлению аномальных коэффициентов переноса за счет эффективного взаимодействия электронов с волнами $\nu_{\text{эфф}}$, также к аномальному нагреву, вызванному возникновением турбулентного источника тепла $Q_{\text{эфф}} \sim j^2/6$.

При этом расчет по Сагдеевской формуле для эффективной частоты соударений $\nu_{\text{эфф}}$ /7/:

$$\nu_{\text{эфф}} \approx \frac{\omega_{pi}}{100} \cdot \frac{V_0}{v_s} \cdot \frac{T_e}{T_i}$$

приводит к значениям $\nu_{\text{эфф}} \sim 4 \cdot 10^3 \text{ с}^{-1}$, что превышает частоту кулоновских соударений электронов, и следовательно, можно существенно изменять процессы переноса в ионосферной плазме.

Таким образом проведенные исследования показывают, что эффекты, связанные с током биений оказывают слабое влияние на развитие мелко-масштабных неоднородностей верхней ионосферы при воздействии на нее мощного пучка радиоволн. Предложенный механизм трансформационно-дрейфовой неустойчивости может оказаться существенным в лабораторных экспериментах по моделированию процессов ионосферной плазмы, где параметр αL достаточно велик $\alpha L \geq 0,1$.

ЛИТЕРАТУРА

- I. Грач С.М., Трахтенгерц В.Д.// Изв. Вузов.-Радиофизика.-1975.-
T.18, № 9 .-С.1288.

2. Грач С.М., Митяков Н.А., Рапопорт В.О., Трахтенгерц В.Ю. - В кн.: Термоволны и нелинейные явления в плазме, /Под ред. В.Ю.Трахтенгерца. - Горький: ИПФ АН СССР.-1979.-С.46-80.
3. Lee M.C., Kuo S.P. //J. Plasma Phys.-1983.-V.36, № 3 .-P.463.
4. Ахиезер А.И. и др. Электродинамика плазмы.-М.: Наука, 1974.
5. Гуревич А.В., Шварцбург А.Б. Нелинейная теория распространения радиоволн в ионосфере.-М.: Наука, 1973.
6. Михайловский А.Б. Теория плазменных неустойчивостей, Т.2.-М.: Атомиздат, 1977.
7. Арцимович П.А., Сагдеев Р.С. Физика плазмы для физиков.-М.: Атомиздат, 1979.

Дата поступления статьи
19 июня 1989 г.

Леонид Геннадьевич Генкин

Лев Михайлович Ерухимов

О ТРАНСФОРМАЦИОННО-ДРЕЙФОВОЙ НЕУСТОЙЧИВОСТИ ИОНОСФЕРЫ
ПЛАЗМЫ В ПОЛЕ ЭЛЕКТРОМАГНИТНЫХ ВОЛН

Подписано в печать 13.07.89 г. МЦ 05189. Формат 60x84/16
Бумага иллюстрированная. Печать офсетная. Объем 0,95 усл. п. л.
Заказ 4929 . Тираж 120. Бесплатно

Отпечатано на ротационной в НИРФИ